

یک مفهوم جدید در طراحی مدارات RF با استفاده از ترانزیستورهای سیلیکون بر روی عایق

ندا پوردادو^(۱)- آرش دقیقی^(۲)

(۱) کارشناسی ارشد - دانشکده برق، دانشگاه آزاد اسلامی، واحد نجف آباد

(۲) استادیار - دانشکده فنی، دانشگاه شهرکرد

تاریخ پذیرش: تابستان ۱۳۸۹

تاریخ دریافت: تابستان ۱۳۸۸

خلاصه: امروزه، ماسفت سیلیکون بر روی عایق، ماسفت قابل توجه پژوهشگران در مقیاس نانو می‌باشد. تفاوت این ماسفت با ماسفت بدنه تهی، وجود یک پرش بزرگ در پاسخ فرکانسی هدایت خروجی به دلیل وجود مقاومت بدنه مخالف صفر می‌باشد. دو پارامتر مهم که تحت تاثیر این تغییر رفتار هدایت خروجی قرار می‌گیرند عبارتند از: ۱- اعوجاج هارمونیک کلی ۲- نقطه تقاطع دامنه خروجی هارمونیک اصلی و هارمونیک سوم که دست آمده است که نشان می‌دهد پارامترهای مهم جهت بررسی اثرات غیرخطی در مدارات فرکانس بالا می‌باشند. در این مقاله، رابطه‌ای جدید به دست آمده است که نشان می‌دهد با تنظیم دقیق ولتاژ بایاس درین و مقدار مقاومت بدنه (با تنظیم مکان قرارگیری اتصالات بدنه) می‌توان پرش هدایت خروجی را از بین برد. سپس با استفاده از نرمافزار شبیه ساز ادوات نیمه هادی، یک ماسفت سیلیکون بر روی عایق با اتصال بدنه با طول کانال ۴۵ نانومتر ایجاد و روابط بر روی آن پیاده شده که نتایج به دست آمده با روابط کاملاً صدق می‌کند. در انتها، یک نمودار مهم به دست آمده است که از روی آن می‌توان مقادیر ولتاژ درین و مقاومت بدنه را به گونه‌ای به دست آورد که اثری از پرش در پاسخ فرکانسی هدایت خروجی نباشد. در انتها، بهبود در مقادیر اعوجاج هارمونیک کلی (THD) و اعوجاج هارمونیک سوم (HD3) و در نتیجه مقدار نقطه تقاطع دامنه خروجی هارمونیک اصلی و هارمونیک سوم (IP3) در یک تقویت کننده نویز پایین (LNA) با استفاده از ماسفت سیلیکون بر روی عایق با طول کانال ۴۵ نانومتر نشان داده می‌شود.

کلمات کلیدی: ماسفت سیلیکون بر روی عایق با بدنه شناور، ماسفت سیلیکون بر روی عایق بدون پرش، اعوجاج هارمونیک کلی، نقطه تقاطع دامنه خروجی هارمونیک اصلی و هارمونیک سوم، تقویت کننده نویز پایین.

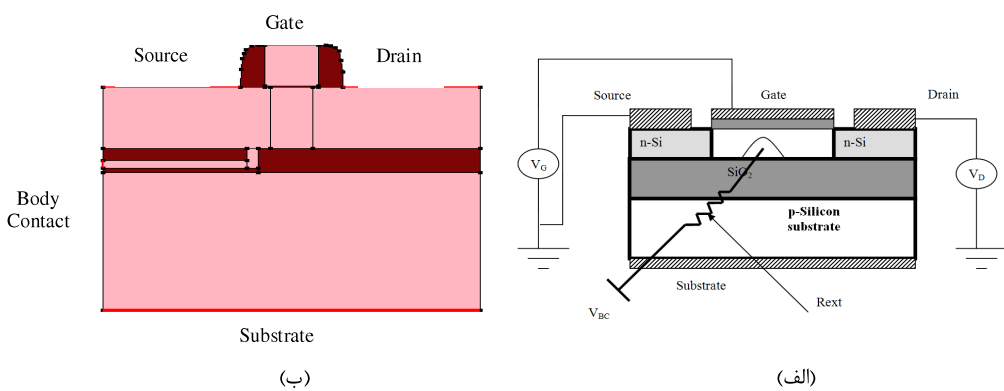
۱- مقدمه

MASFT سیلیکون بر روی عایق قسمتی تهی شده نیز استفاده کرد، این ماسفت کاربرد بیشتری در بین ماسفتهای سیلیکون بر روی عایق پیدا کرده است. در مقابل، این ماسفت دارای یک سری اثرات غیرخطی به دلیل وجود پرش در پاسخ فرکانسی هدایت خروجی می‌باشد که دلیل وجود آنها در ماسفت سیلیکون بر روی عایق با بدنه شناور، اثری به نام کینک^۱ می‌باشد [۲]. در فرکانس‌های پایین توانسته‌اند این پدیده را با استفاده از ماسفت سیلیکون بر روی عایق با اتصال بدنه از بین ببرند [۳] به همین جهت، ماسفت سیلیکون بر روی عایق با اتصال بدنه توجه زیادی را به خود جلب کرده است. اما با توجه به اینکه هر روزه طول کانال و ضخامت فیلم سیلیکونی در ماسفتهای در حال کوچک‌تر شدن می‌باشند، مقدار با توجه به اینکه می‌توان از روابط ماسفت بدنه سیلیکون برای طراحی

بر روی عایق بدون پرش، باعث کاهش اثرات غیرخطی در تقویت کننده‌ی نویز پایین می‌شود. جهت شبیه‌سازی از نرم‌افزار شبیه‌ساز Intel و Texas Instrument جهت طراحی نیمه هادیها کاربرد وسیعی دارد استفاده شده است [۵].

۲- ساختار ماسفت سیلیکون بر روی عایق با اتصال بدنه

ماسفت مورد بررسی، یک ماسفت سیلیکون بر روی عایق با اتصال بدنه با زیر بدنه‌ای دارای دوپینگ استاندارد می‌باشد (چون در این مقاله، هدف بررسی و کم کردن اثرات پرشهای موجود در پاسخ فرکانسی هدایت خروجی به دلیل حضور زیر بدنه نمی‌باشد). طول گیت (L) و ضخامت اکسید گیت (t_{ox}) به ترتیب برابر با ۴۵ نانومتر و ۱.۸ نانومتر می‌باشند. مقدار دوپینگ در فیلم سیلیکونی برابر با 10^{19} cm^{-3} می‌باشد و دوپینگ در درین و سورس با استفاده از روش گوسین با پیک 10^{20} انجام گرفته است (مقدادر دوپینگ در قسمتهای مختلف، بر اساس مقادیر طراحی شده برای پارامترهایی همچون ولتاژ آستانه، جریان در حالت روشن بودن و جریان در حالت خاموش بودن به دست آمداند). همچنین باید توجه داشت که ماسفت از نوع کانال n می‌باشد. ماسفت مورد بررسی دارای یک اتصال برای بدنه شناور جهت از بین بردن اثر کینک می‌باشد. همچنین، برای کاهش اثرات پارازیتی بین درین و گیت و بین سورس و گیت از سیلیساید استفاده شده است. شماتیک ماسفت مورد بررسی در شکل (۱) نمایش داده شده است. همانگونه که دیده می‌شود، جهت بررسی اثر مقاومت بدنه از یک مقاومت خارجی به نام Rext که به صورت سری با بدنه قرار گرفته است استفاده شده است. در واقع، این مقاومت خارجی به صورت یک پتانسیومتر عمل می‌کند که با تغییر آن، مقدار مقاومت بدنه کم و زیاد می‌شود. در نتیجه، می‌توان اثر مقاومت بدنه بر روی رفتار ماسفت را بررسی کرد. مقادیری که برای Rext در نظر گرفته می‌شود باید به صورتی باشد که در ماسفتهای ایجادی در عمل، کاربردی و قابل پیاده‌سازی باشند.



شکل (۱): (الف) نمای ماسفت سیلیکون بر روی عایق با اتصال بدنه همراه با مقاومت خارجی سری (Rext) قرار گرفته با بدنه جهت تغییر مقاومت بدنه [۴] (ب) ساختار دو بعدی ماسفت سیلیکون بر روی عایق با اتصال بدنه در محیط ISE-TCAD

Fig. (1): (a)-Structure of BC SOI with an external body resistance (b)-2 dimensional structure of BC SOI in ISE-TCAD semiconductor simulation environment

مقاومت بدنه در این ماسفتها قابل ملاحظه می‌شود و ممکن است مقاومت آنقدر زیاد شود که رفتار این ماسفتها همانند ماسفتهای سیلیکون بر روی عایق با بدنه شناور شود [۴]. حتی اگر هم مقدار مقاومت بدنه کم باشد، پرش در هدایت خروجی در فرکانس‌های بالاتر باز هم در ماسفتهای سیلیکون بر روی عایق با اتصال بدنه اتفاق می‌افتد. در هر صورت، با هر مقدار مقاومت بدنه که اعمال می‌شود یک پرش در پاسخ فرکانسی هدایت خروجی به وجود می‌آید.

همان‌گونه که می‌دانیم امروزه تلاش بر این است که از ماسفتهای سیلیکون بر روی عایق، در مدارات آنالوگ فرکانس بالا استفاده کنند و یکی از پارامترهای موثر در طراحی این مدارات، هدایت خروجی می‌باشد. حال اگر هدایت خروجی در هر فرکانسی رفتار متغیری از خود نشان دهد، باعث اثرات نامطلوب از جمله افزایش اعوجاج هارمونیک کلی^۲ و کاهش پارامتر مهمی به نام نقطه تقاطع دامنه خروجی هارمونیک اصلی و هارمونیک سوم^۳ می‌شود که هر دو از پارامترهای بسیار مهم در طراحی مدارات فرکانس بالا از جمله تقویت کننده‌های نویز پایین^۴ می‌باشند. با توجه به این موارد، بایستی دنبال راه حلی بود که بتوان به طور کل پرش را در پاسخ فرکانسی هدایت خروجی از بین بود تا بتوان اثرات غیر خطی را کاهش داد و بتوان با اطمینان بیشتری از ماسفتهای سیلیکون بر روی عایق جهت کاربرد در مدارات آنالوگ فرکانس بالا استفاده کرد.

در این مقاله قصد بر این می‌باشد تا بتوان با تنظیم مقادیر مقاومت بدنه و ولتاژ درین، پرش موجود را در یک ماسفت سیلیکون بر روی عایق با اتصال بدنه از بین برد. ماسفتی که مورد بررسی قرار گرفته است یک ماسفت سیلیکون بر روی عایق با اتصال بدنه با طول کانال ۴۵ نانومتر می‌باشد. رنج فرکانسی شبیه‌سازی شده تا حد گیگاهرتز در نظر گرفته شده است. سپس، بهبود در مقادیر اعوجاج هارمونیک کلی و نقطه تقاطع دامنه خروجی هارمونیک اصلی و هارمونیک سوم در یک تقویت کننده‌ی نویز پایین طراحی شده با استفاده از ماسفت سیلیکون بر روی عایق بدون پرش به جای ماسفت سیلیکون بر روی عایق با اتصال بدنه بررسی می‌شود و نشان داده می‌شود که استفاده از ماسفت سیلیکون

شاید اینگونه به نظر برسد که وجود مقاومت بدنی هیچ اثری در رفتار ماسفت ایجاد نمی‌کند، اما با توجه به اینکه سایز ماسفتها در حال کوچک شدن می‌باشد، این مقاومت رفته اهمیت می‌یابد و ممکن است مقدار این مقاومت به حدی قابل ملاحظه شود که اتصال بدنی تاثیر خود را از دست دهد و رفتار ماسفت سیلیکون بر روی عایق با اتصال بدنی همانند ماسفت سیلیکون بر روی عایق با بدنی شناور شود. بایستی به این نکته توجه داشت که اثر مقاومت بدنی در پاسخ فرکانسی هدایت خروجی بهتر نمایان می‌شود. به همین جهت، نیاز است تا رفتار فرکانسی هر دو ماسفت به طور کامل بررسی شود.

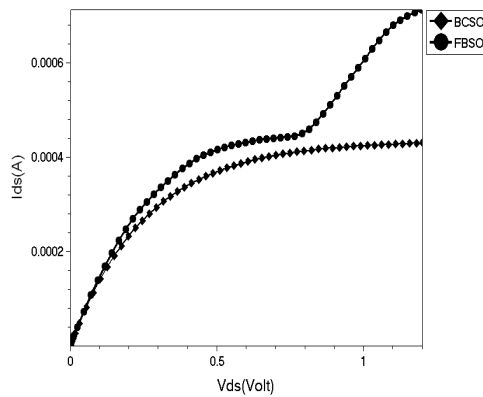
الف- پاسخ فرکانسی هدایت خروجی ماسفت سیلیکون بر روی عایق قسمتی تهی شده

در این قسمت، رفتار پاسخ فرکانسی هر دو نوع ماسفت سیلیکون بر روی عایق با بدنی شناور و ماسفت سیلیکون بر روی عایق با اتصال بدنی بررسی می‌شود تا اثر مقاومت بدنی بهتر مشخص شود. ماسفتها بررسی شده هر دو دارای طول کاتالی برابر با 45 نانومتر و دارای ساختار فیزیکی یکسان می‌باشند و تنها تفاوت آنها وجود یک اتصال بدنی در ساختار ماسفت سیلیکون بر روی عایق با اتصال بدنی می‌باشد. نمودار پاسخ فرکانسی هر دو نوع ماسفت در شکل (۲) مشخص می‌باشد. با مقایسه دو نمودار در فرکانس‌های پایین مشخص است که هدایت خروجی در فرکانس‌های پایین در ماسفت سیلیکون بر روی عایق با بدنی شناور به علت وجود اثر کینک بسیار بزرگ‌تر از ماسفتی است که در آن از اتصال بدنی استفاده می‌شود.

در واقع، با توجه به شکل جریان درین بر حسب ولتاژ درین مربوط به ماسفت سیلیکون بر روی عایق با بدنی شناور در شکل (۲)، جریان درین در یک ولتاژ درین خاص به صورت ناگهانی افزایش می‌یابد و با توجه به رابطه هدایت خروجی ($I_d = g_{dI}/\partial V_d$)، هدایت خروجی نیز یک افزایش شدید می‌یابد. پس در فرکانس‌های پایین، هدایت خروجی در ماسفت سیلیکون بر روی عایق با بدنی شناور نسبت به ماسفت سیلیکون بر روی عایق با اتصال بدنی زیادتر است. حال می‌دانیم که اثر کینک وابسته به فرکانس می‌باشد و با افزایش فرکانس این اثر رفته رفته کاهش می‌یابد تا اینکه در یک فرکانس خاص که همان فرکانس قطع می‌باشد، این اثر به طور کامل از بین می‌رود و هدایت خروجی کاهش می‌یابد. دلیل پرش دوم در ماسفت سیلیکون بر روی عایق با بدنی شناور در شکل (۲) به دلیل همین از بین رفتان اثر کینک می‌باشد. در مقابل، در یک ماسفت سیلیکون بر روی عایق با اتصال بدنی به دلیل اینکه اثر کینک با ایجاد اتصال بدنی در فرکانس‌های پایین از بین می‌رود، هدایت خروجی کاهش می‌یابد. اما همان‌گونه که در شکل (۴) هم مشخص است، در ماسفت سیلیکون بر روی عایق با اتصال بدنی، در فرکانس‌های بالا هدایت خروجی شروع به افزایش می‌کند و یک پرش افزایشی شدید در پاسخ فرکانسی در فرکانس‌های بالا به وجود می‌آید. این پرش به دلیل اثر مقاومت بدنی می‌باشد و این همان پرش دوم

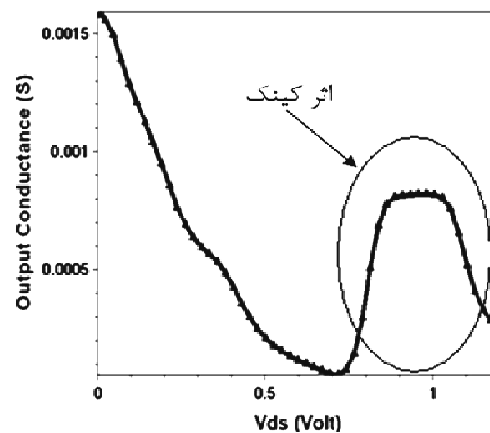
۳- بررسی رفتار ماسفت سیلیکون بر روی عایق قسمتی تهی شده (با بدنی شناور و با اتصال بدنی)

در شکل (۲)، نمودار جریان درین- ولتاژ درین برای هر دو ماسفت سیلیکون بر روی عایق با بدنی شناور (بدون هیچ اتصالی برای بدنی) و سیلیکون بر روی عایق با اتصال بدنی نشان داده شده است. همان‌گونه که انتظار می‌رود، یک پرش در نمودار جریان درین- ولتاژ درین ماسفت سیلیکون بر روی عایق با بدنی شناور به دلیل حضور بدنی شناور در ساختار ماسفت در ولتاژ درین حدوداً برابر با 0.8 ولت اتفاق می‌افتد که با افزایش ناگهانی جریان درین در یک ولتاژ درین خاص، هدایت خروجی نیز یک افزایش ناگهانی می‌یابد که در شکل (۳) نیز نمایش داده شده است. اما با ایجاد اتصال بدنی در ساختار ماسفت و تبدیل آن به ماسفت سیلیکون بر روی عایق با اتصال بدنی، اثر کینک به طور کامل از میان می‌رود.



شکل (۲): نمودار جریان درین- ولتاژ درین در ماسفت سیلیکون بر روی عایق با بدنی شناور (دوایر) و ماسفت سیلیکون بر روی عایق با اتصال بدنی (لوژیها) دارای طول کاتالی برابر با 45 نانومتر و در ولتاژ گیت برابر با 1.2 ولت

Fig. (2): Id-Vd characteristic of FB SOI (circles) and BC SOI (diamonds) MOSFETs with L=45nm and Vg=1.2 Volt



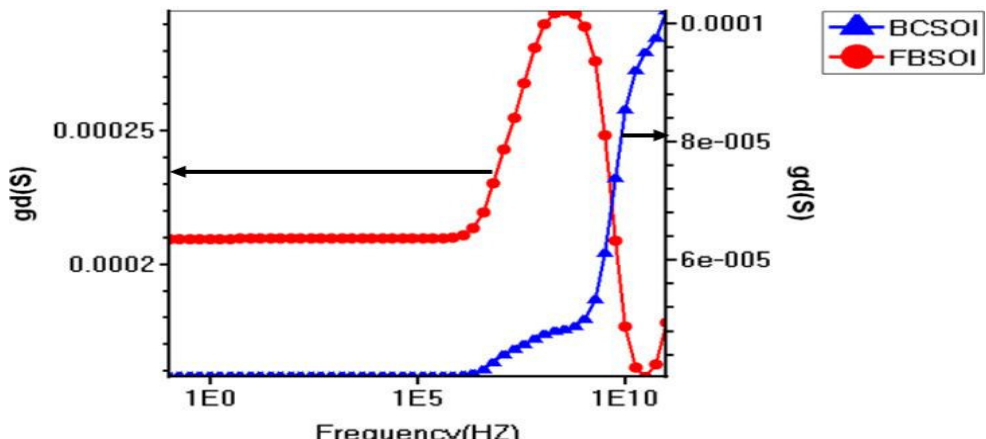
شکل (۳): اثر حضور پرش کینک در نمودار هدایت خروجی- ولتاژ درین در ماسفت سیلیکون بر روی عایق قسمتی تهی شده

Fig. (3): The presence of kink effect in gd-Vd characteristic of PD SOI MOSFET

می‌افتد که رفتار آن وابسته به فرکانس می‌باشد. در فرکانس‌های پایین با بالا رفتن ولتاژ درین از یک حدی به دلیل بالارفتن دما و کاهش تحرک پذیری^۴ حاملها، جریان کanal کاهش می‌یابد و بنابراین هدایت خروجی هم کاهش پیدا می‌کند. اما با بالا رفتن فرکانس، دیگر حاملها قادر به دنبال کردن این فرکانس نیستند و اثر خودگرمایی رفتار از بین می‌رود و به همین علت، هدایت خروجی افزایش می‌یابد که علت وجود پرش اول در نمودارهای نشان داده شده در شکل (۴) همین اثر خودگرمایی می‌باشد. از طرفی، در ساختار ماسفت از یک دویینگ استاندارد برای زیر بدنه استفاده شده است و دلیل پرش سوم موجود در پاسخ فرکانسی هدایت خروجی ماسفت‌ها به دلیل وجود زیر بدنه می‌باشد.

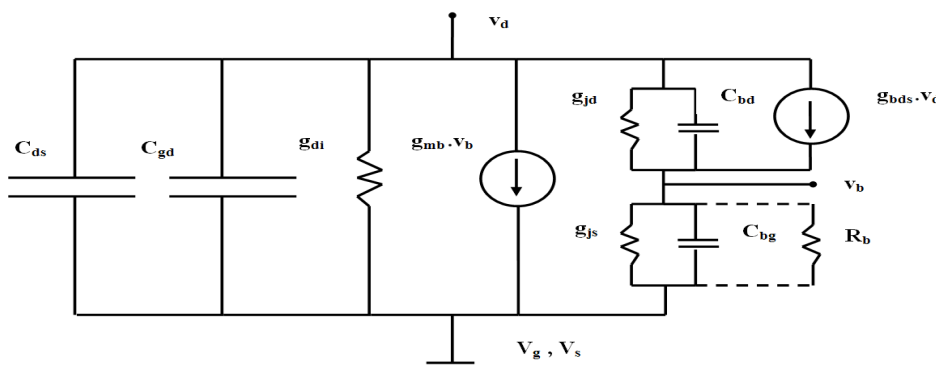
موجود در پاسخ فرکانسی هدایت خروجی ماسفت سیلیکون بر روی عایق با اتصال بدنه در شکل (۴) می‌باشد. برای بررسی این واستگی فرکانسی و اثر مقاومت بدنه لازم است که مدل سیگنال کوچک ماسفت سیلیکون بر روی عایق قسمتی تهی شده بررسی شود.

قبل از بررسی رفتار سیگنال کوچک، لازم است توجه داشت که با توجه به نمودارهای نمایش داده شده در شکل (۴)، دو پرش دیگر در پاسخ فرکانسی هدایت خروجی هر دو ماسفت وجود دارد. پرش اول به دلیل اثر خودگرمایی می‌باشد و پرش سوم موجود در هر دو ماسفت به دلیل حضور زیر بدنه با دویینگ استاندارد می‌باشد [۶]. همانگونه که مذکور شد، به دلیل وجود اکسید خوابانده شده در زیر فیلم سیلیکونی در ماسفت‌های سیلیکون بر روی عایق، اثری به نام اثر خودگرمایی اتفاق



شکل (۴): پاسخ فرکانسی هدایت خروجی ماسفت سیلیکون بر روی عایق با بدنه‌ی شناور(دوایر) و ماسفت سیلیکون بر روی عایق با اتصال بدنه (ممثلهای) با طول کanal 45 نانومتر و ولتاژ گیت و ولتاژ درین برابر با 1.2 ولت

Fig. (4):The output conductance frequency response of FB SOI (circles) and BC SOI (triangles) MOSFETs with L=45nm and Vd=Vg=1.2 Volt



شکل (۵): مدل سیگنال کوچک یک ماسفت سیلیکون بر روی عایق قسمتی تهی شده از دید درین [۷]

Fig. (5): The small signal model of PD SOI MOSFET seen from drain terminal [7]

روی عایق با اتصال بدنه که مقاومت بدنه هم در مدل سیگنال کوچک وارد می شود، مقادیر صفر و قطب تعريف می شوند:

$$\begin{aligned} f_p &= \frac{1}{2\pi} \frac{g_b}{(C_{bd} + C_{bg})} \\ f_0 &= \frac{1}{2\pi} \sqrt{\frac{g_b g_{bds}}{C_{bd}(C_{bd} + C_{bg})}} \end{aligned} \quad (5)$$

همانگونه که از روابط (۵) مشخص است، مقادیر مربوط به فرکансهای صفر و قطب در یک ماسفت سیلیکون بر روی عایق با اتصال بدنه، بستگی به مقدار مقاومت بدنه دارد. اگر مقاومت بدنه به اندازه کافی کوچک باشد، صفر در فرکانس کوچکتر قرار می گیرد و با افزایش مقاومت بدنه، قطب در فرکانس کوچکتر قرار می گیرد. در واقع، اگر مقاومت بدنه از یک حدی بزرگتر شود، رفتار ماسفت سیلیکون بر روی عایق با اتصال بدنه همانند ماسفت سیلیکون بر روی عایق با بدنه شناور می شود. به عنوان مثال در نمودار به دست آمده در شکل (۴) در ماسفت سیلیکون بر روی عایق با اتصال بدنه با مقدار مقاومت ۲۶ کیلو اهم (مقاومت نسبتا کوچک) با استفاده از شبیه ساز ISE-TCAD به خوبی ملاحظه می شود که قطب در فرکانس بزرگتر نسبت به صفر قرار گرفته است. در ماسفت سیلیکون بر روی عایق با اتصال بدنه، مقادیر به دست آمده برای صفر و قطب به ازای مقاومت بدنه برابر با ۲۶ کیلو اهم با استفاده از روابط (۵) تقریباً برابر با ۳ گیگاهرتز و ۵۰ گیگاهرتز می شوند که با فرکансهای صفر و قطب پرش دوم در نمودار شکل (۴) مطابقت می کنند. به یک نکته باید توجه داشت که در این ماسفت طراحی شده، مقدار صفر در ماسفت سیلیکون بر روی عایق با بدنه شناور با مقدار قطب در ماسفت سیلیکون بر روی عایق با اتصال بدنه برابر شده اند و دلیل وجود ندارد که در سایر ماسفتها این مقادیر یکسان شوند. همانگونه که بررسی شد، در هر دو نوع ماسفت سیلیکون بر روی عایق چه با اتصال بدنه و چه بدون اتصال بدنه، همواره پرش در پاسخ فرکانسی هدایت خروجی وجود دارد که باعث می شود تا رفتار ماسفت طراحی شده در فرکانسی مختلف تغییر کند. پس نیاز است تا ماسفت به گونه ای طراحی شود که پرش موجود از بین برود.

ج- طراحی ماسفت جهت از بین بدن پرش در پاسخ فرکانسی هدایت خروجی ماسفت سیلیکون بر روی عایق با اتصال بدنه
همانگونه که بررسی شد، پاسخ فرکانسی هدایت خروجی ماسفت سیلیکون بر روی عایق با اتصال بدنه دارای یک جفت صفر و قطب می باشد. در نتیجه، جهت از بین بدن پرش موجود در پاسخ فرکانسی هدایت خروجی، می باشیست که گونه ای طراحی را انجام داد که صفر و قطب ماسفت بر روی هم قرار بگیرند. با توجه به رابطه (۵) و مساوی قرار دادن مقادیر مربوط به صفر و قطب به دست می آید:

$$R_D C_{bd} = R_B (C_{bs} + C_{bd}) \quad (6)$$

در رابطه (۶)، R_B مقاومت بدنه و R_D برابر با $1/g_{bds}$ می باشد. همچنین باشیست توجه داشت که خازن بدنه - سورس (C_{bs})، مجموع خازن بدنه

ب- مدل کامل سیگنال کوچک ماسفت سیلیکون بر روی عایق قسمتی تهی شده

مدل مورد بررسی در این قسمت، مدل کامل سیگنال کوچک یک ماسفت سیلیکون بر روی عایق قسمتی تهی شده از دید درین که در مرجع [۷] استفاده شده، می باشد که در شکل (۵) نیز نشان داده شده است. در این مدل، g_{js} و g_{jd} به ترتیب هدایتهای پیوندی سورس و درین و g_{mb} و g_{bd} به ترتیب خازنهای بدنه - درین و بدنه - زمین (مجموع خازنهای بدنه - گیت و بدنه - سورس) می باشند. همان هدایت مربوط به بدنه - g_{mb} و بدنه - g_{bd} به ترتیب هدایت انتقالی بدنه و هدایت خروجی ذاتی کانال می باشد. g_{bds} هم هدایت به وجود آمده به دلیل جریان ایجادی در اثر یونیزاسیون فشرده می باشد ($I_{bds} = \partial I / \partial V_d$). با توجه به این مدل ارایه شده، هدایت خروجی در یک ولتاژ گیت ثابت تعريف می شود:

$$\begin{aligned} G_d &= \frac{\partial I_d}{\partial V_d} = g_{di} + Re \left(\frac{1 + g_{mb}(Z_{bs} + g_{bds} Z_{bd} Z_{bs})}{Z_{bd} + Z_{bs}} \right) \\ &\approx g_{di} + g_{mb} Re \left(\frac{Z_{bs} + g_{bds} Z_{bd} Z_{bs}}{Z_{bd} + Z_{bs}} \right) \end{aligned} \quad (1)$$

Z_{bs} و Z_{bd} به ترتیب امپدانسهای بدنه - درین و بدنه - سورس می باشند که تعريف می شوند:

$$\begin{aligned} Z_{bs} &= \frac{1}{g_{js} + j\omega C_{bg}} \\ Z_{bd} &= \frac{1}{g_{jd} + j\omega C_{bd}} \end{aligned} \quad (2)$$

البته باید توجه داشت که در ماسفت سیلیکون بر روی عایق با اتصال بدنه مقدار g_{js} با g_{jd} جایگزین می شود.

با جایگذاری رابطه (۲) در رابطه (۱) به دست می آید:

$$G_d = g_{di} + g_{mb} \frac{g_{js} g_{bds} + \omega^2 C_{bd} (C_{bd} + C_{bg})}{g_{js}^2 + \omega^2 (C_{bd} + C_{bg})} \quad (3)$$

با توجه به رابطه (۳)، هدایت خروجی مربوط به یک جفت صفر و قطب سیلیکون بر روی عایق با بدنه شناور دارای یک جفت صفر و قطب است که برابرند با:

$$\begin{aligned} f_p &= \frac{1}{2\pi} \frac{g_{js}}{(C_{bd} + C_{bg})} \\ f_0 &= \frac{1}{2\pi} \sqrt{\frac{g_{js} g_{bds}}{C_{bd} (C_{bd} + C_{bg})}} \end{aligned} \quad (4)$$

با توجه به رابطه (۴) این گونه نتیجه می شود که در ماسفت سیلیکون بر روی عایق با بدنه شناوری که در ناحیه ای اشباع قرار گرفته است قطب در فرکانس کوچکتر نسبت به صفر قرار می گیرد که این رابطه با نتایج به دست آمده با استفاده از شبیه ساز ISE-TCAD در شکل (۴) کاملاً مطابقت دارد. با استفاده از روابط (۴)، مقدار قطب و صفر در ماسفت سیلیکون بر روی عایق با بدنه شناور تقریباً برابر با ۴۰۰ مگاهرتز و ۵۰ گیگاهرتز می شوند که با فرکانسها قطب و صفر پرش دوم در نمودار شکل (۴) مطابقت دارند. اما در ماسفت سیلیکون بر

A وجود داشته باشد و گرنه سایر هارمونیکها که مهمترین آنها ۲۰۱ و ۳۰۱ (هارمونیکهای دوم و سوم) هستند نیز با دامنه‌های متفاوت پدیدار می‌شوند که این اصلاً مطلوب نمی‌باشد و باعث خراب شدن شکل سیگنال خروجی می‌شود. باید توجه داشت که هرچه اثرات غیر خطی در یک تقویت کننده نویز پایین بیشتر باشد، دامنه‌ی هارمونیکهای دوم و سوم نیز افزایش می‌باید. جهت بررسی اعوجاج هارمونیکی از پارامتری به نام HD_n است (HD_n) (رابطه‌ی (۸)) استفاده می‌شود که به صورت نسبت مربع دامنه‌ی هارمونیک n به مربع دامنه‌ی هارمونیک اصلی (Y_1^2) تعریف می‌شود:

$$\text{HD}_n = \frac{|Y_n^2|}{|Y_1^2|} \quad (8)$$

و اعوجاج هارمونیک کلی تعریف می‌شود:

$$\text{THD} = \sqrt{\sum_{n=2}^{\infty} Y_n^2} \quad (9)$$

که Y_1 , Y_2 و Y_n به ترتیب دامنه‌ی هارمونیک اصلی، دامنه‌ی هارمونیک دوم و دامنه‌ی هارمونیک n می‌باشند. حال هرچه يك تقویت کننده‌ی نویز پایین غیرخطی تر باشد، مقدار اعوجاج هارمونیک کلی نیز بیشتر می‌شود. پس یکی از پارامترها جهت مقایسه‌ی اثر غیر خطی، اعوجاج هارمونیک کلی می‌باشد.

و- نقطه تقاطع دامنه خروجی هارمونیک اصلی و هارمونیک سوم

اگر یک تقویت کننده‌ی نویز پایین را در نظر بگیریم که ورودی آن یک سیگنال سینوسی می‌باشد، تغییرات دامنه‌ی خروجی هارمونیک اصلی و هارمونیک سوم بر اساس اندازه‌ی دامنه‌ی ورودی تغییر می‌کند. در واقع، هنگامی که دامنه‌ی ورودی به اندازه‌ی کافی کوچک باشد، دامنه‌ی خروجی هارمونیک n با توان n دامنه‌ی سیگنال ورودی افزایش می‌باید. اما اگر که دامنه‌ی ورودی از یک حدی بیشتر باشد، دیگر این رابطه برقرار نخواهد بود و دامنه‌ی خروجی هارمونیک اصلی سریعتر یا کندر از حالت خطی افزایش می‌باید که به ترتیب افزایش و کاهش بهره را به ذنب خواهد داشت. در حالتی که کاهش بهره اتفاق می‌افتد، نقطه‌ای از ورودی که در آن دامنه‌ی هارمونیک اصلی در خروجی تقویت کننده نویز پایین که دارای اثرات غیرخطی می‌باشد، ۱ dB و یا ۳dB کمتر از مقدار خروجی هارمونیک اصلی در حالت خطی باشد را P_{-1dB} یا P_{-3dB} گویند. بر همین اساس، محدوده‌ی دینامیکی ورودی، بیشترین حد دامنه‌ی ورودی است که در آن مدار بتواند عمل کند بدون اینکه سیگنال خروجی خراب شود که به آن نقطه تقاطع دامنه خروجی هارمونیک اصلی و هارمونیک سوم گویند. این پارامتر یکی از مهمترین پارامترها در بررسی اثرات غیرخطی به خصوص تقویت کننده‌های نویز پایین می‌باشد که طبق رابطه (۱۰) تعریف می‌شود:

$$\text{IP3} = \frac{A}{\sqrt{\text{HD}_3}} \quad (10)$$

سورس و خازن بدنه- گیت (Cbg) می‌باشد. با قرار دادن مقادیر خازنها در رابطه (۶) به دست می‌آید:

(۷)

$$R_B =$$

$$\frac{R_D C_{bd0} \sqrt{\Phi_{bd}}}{C_{bd0} \sqrt{\Phi_{bd}} + \left(\frac{1}{3}\right) C_{bs0} \sqrt{\Phi_{bd} + V_D} + \frac{C_{bg0} \sqrt{\Phi_{bg}} \sqrt{\Phi_{bd} + V_D}}{\sqrt{\Phi_{bg}} + V_G}}$$

بنابراین، اگر بتوان قرارگیری اتصالهای بدنه یعنی تنظیم مقدار مقاومت بدنه و همچنین بایاسینگ ولتاژ درین را بگونه‌ای تنظیم کرد که مقدار مقاومت بدنه (R_B) برابر با رابطه (۷) شود، آنگاه می‌توان پرش موجود در پاسخ فرکانسی هدایت خروجی که در اثر مقاومت بدنه بوجود می‌آید را از بین برد. در واقع، می‌توان تنها با تنظیم مقاومت بدنه و ولتاژ درین، پرش را حذف نمود.

د- اهمیت کاهش اثرات غیر خطی ماسفتها در رفتار مدارات فرکانس بالا

از آنجایی که تقویت کننده‌های نویز پایین اولین طبقه در گیرنده‌های فرکانس بالا می‌باشند، حساسیت گیرنده توسط این طبقه کنترل می‌شود. در نتیجه، نیاز است تا هرچه می‌توان اثرات غیرخطی این طبقه را کاهش داد تا بتوان اطمینان گیرنده را افزایش داد. امروزه که ماسفت‌های سیلیکون بر روی عایق به عنوان یک تکنولوژی برتر در طراحی مدارات فرکانس بالا استفاده می‌شوند، اعوجاج که حاصل از رفتار غیرخطی این ماسفت‌ها می‌باشد، عامل اصلی وارد شدن فرکانس‌های ناخواسته در باند فرکانسی موردنظر می‌باشد. در واقع، وجود سیگنال‌های مداخله‌گر در باند فرکانسی اصلی، باعث خراب شدن سیگنال در فرکانس اصلی در گیرنده می‌شود. اگر فرکانس سیگنال مورد نظر در یک گیرنده برابر با ω_1 باشد و سیگنال وارد شونده دیگر به گیرنده يك سیگنال ناخواسته و مداخله‌گر در فرکانس ω_2 باشد، فرکانس‌های حاصل از مداخله‌ی داخلی این دو سیگنال ممکن است در باند فرکانسی موردنظر گیرنده قرار بگیرد و باعث درست کار نکردن گیرنده بشود. همین اتفاق می‌تواند برای حالتی که سیگنال موردنظر در نزدیکی دو سیگنال مداخله‌گر با دامنه‌های بزرگ قرار بگیرد نیز تکرار شود. پس نیاز است تا اثرات اعوجاج به خوبی بررسی شود و مدار به گونه‌ای طراحی شود که اعوجاج در مدار حداقل شود.

ه- اعوجاج هارمونیکی

اعوجاج در واقع تفاوت بین شکل سیگنال خروجی و سیگنال ورودی موردنظر می‌باشد. همانگونه که می‌دانید هنگامی که یک سیگنال وارد یک تقویت کننده نویز پایین می‌شود، مطلوب این است که در خروجی فقط دامنه‌ی سیگنال بدون هیچ تغییری در شکل سیگنال افزایش یابد. در واقع، اگر سیگنالی با فرکانس ω_1 و دامنه‌ی A وارد یک تقویت کننده‌ی نویز پایین شود، اگر این تقویت کننده دارای هیچ‌گونه اثر غیر خطی نباشد، در خروجی فقط باید فرکانس ω_1 با دامنه‌ی چندین برابر

45 نانومتر برای ولتاژهای درین ۰.۹ تا ۱.۲ ولت با استفاده از نرم افزار شبیه ساز ISE-TCAD پیاده می شود و مقاومتهای بدنه که باعث بدون پرش شدن پاسخ فرکانسی هدایت خروجی می شود به دست آورده می شوند که نتایج در شکل (۷) نشان داده شده است. همانگونه که در نمودار شکل (۷) مشخص می باشد، هرچه ولتاژ درین افزایش می یابد، برای رسیدن به پاسخ فرکانسی هدایت خروجی بدون پرش، به مقاومت بدنه کمتری نیاز می باشد. از طرفی هرچه مقدار مقاومت بدنه افزایش یابد، مقدار هدایت خروجی نیز افزایش می یابد. با توجه به مقادیر ولتاژ درین و مقاومت بدنهای که در این مقادیر دیگر اثری از پرش مقاومت بدنه در پاسخ فرکانسی هدایت خروجی نمی باشد، نموداری به نام نمودار بدون پرش به دست می آید (شکل (۸)). در این نمودار، ولتاژ درین بر حسب مقاومت بدنه و همچنین مقادیر هدایت خروجی بر اساس این مقادیر مقاومت بدنه و ولتاژ درین ترسیم می شوند. پس می توان با توجه به مقادیر ولتاژ درین و مقاومت بدنه از روی نمودار بدون پرش به پاسخ فرکانسی هدایت خروجی بدون پرش دست یافت. از این به بعد، ماسفت سیلیکون بر روی عایق با اتصال بدنهای که پاسخ فرکانسی هدایت خروجی آن دارای پرش فرکانسی به دلیل مقاومت بدنه نمی باشد، ماسفت سیلیکون بر روی عایق بدون پرش نامیده می شود. حال باید دید که این حذف پرش موجود در پاسخ فرکانسی هدایت خروجی چه تاثیری بر اعوجاج هارمونیک کلی و نقطه تقاطع دامنه خروجی هارمونیک اصلی و هارمونیک سوم دارد.

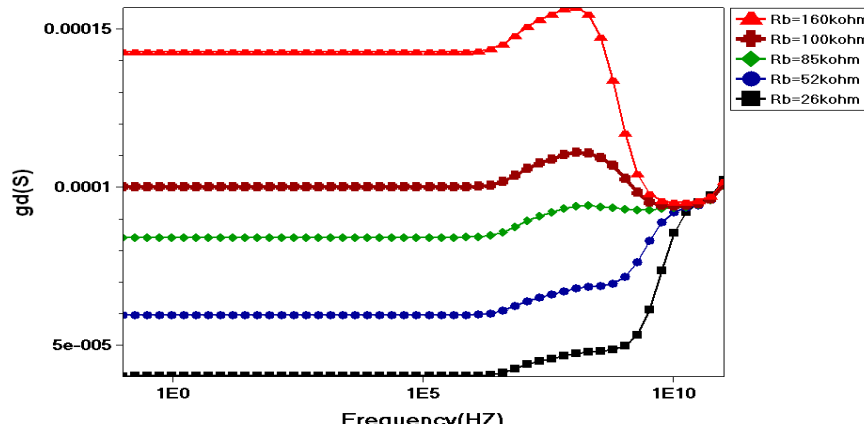
که بنابر رابطه‌ی (۸):

$$HD_3 = \left| \frac{Y_3^2}{Y_1^2} \right| \quad (11)$$

پس از دو پارامتر می توان جهت مقاسه‌ی اثرات غیر خطی در تقویت کننده های نویز پایین استفاده کرد که عبارتند از اعوجاج هارمونیک کلی و نقطه تقاطع دامنه خروجی هارمونیک اصلی و هارمونیک سوم.

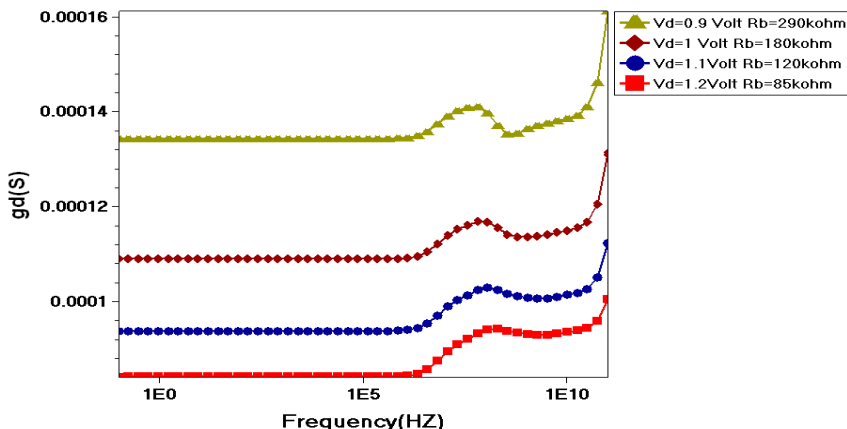
۴- شبیه سازیها و نتایج به دست آمده

همانگونه که بررسی شد رفتار پرش در پاسخ فرکانسی هدایت خروجی ماسفت سیلیکون بر روی عایق با اتصال بدنه به مقدار مقاومت بدنه وابسته می باشد که این تغییر رفتار در شکل (۶) به طور کاملاً واضح مشخص می باشد. در این شبیه سازی، ولتاژ گیت و درین اعمالی برابر با ۱.۲ ولت می باشند. همانگونه که در شکل (۶) مشخص است، هنگامیکه مقاومت بدنه به اندازه کافی کوچک می باشد، رفتار ماسفت همان رفتار ماسفت سیلیکون بر روی عایق با اتصال بدنه می باشد و یک پرش بزرگ افزایشی در فرکانس‌های بالا در پاسخ فرکانسی هدایت خروجی به وجود می آید. اما با زیاد شدن مقاومت بدنه هنگامی که از حدود ۸۵ کیلواهم بیشتر شود، ماسفت سیلیکون بر روی عایق با اتصال بدنه همانند ماسفت سیلیکون بر روی عایق با بدنه شناور عمل می کند و یک پرش کاهشی در پاسخ فرکانسی هدایت خروجی به وجود می آید. حال شبیه سازی برای ماسفت طراحی شده با طول کانال



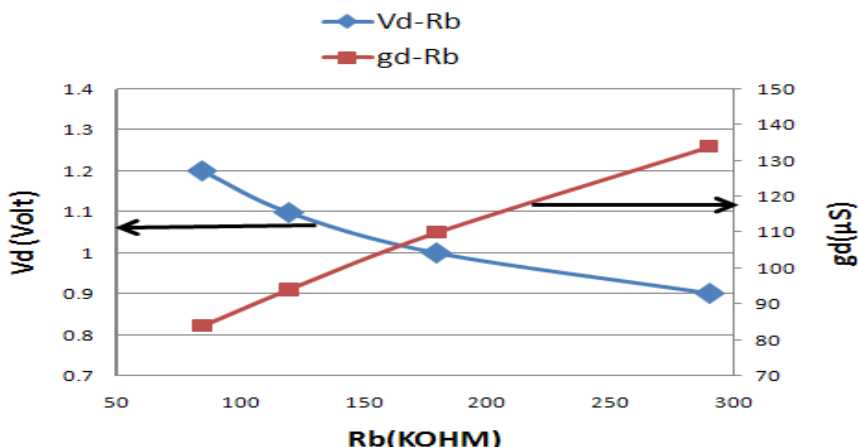
شکل (۶): تغییرات رفتار پاسخ فرکانسی هدایت خروجی با تغییر مقاومت بدنه در یک ماسفت سیلیکون بر روی عایق با اتصال بدنه با طول کانال 45 نانومتر با ولتاژ درین و گیت اعمالی برابر با ۱.۲ ولت (نتایج شبیه ساز (ISE-TCAD Simulator)

Fig. (6): The impact of body resistance on the output conductance frequency response of BC SOI MOSFET with L=45nm and Vd=Vg=1.2 Volt (Results of ISE-TCAD Simulator)



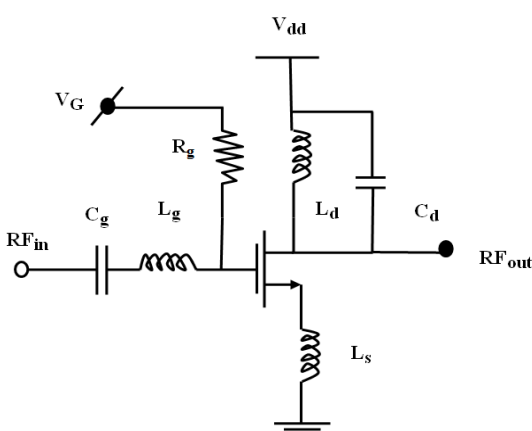
شکل (۷): پاسخ فرکانسی هدایت خروجی بدون پرش در ماسفت سیلیکون بر روی عایق با اتصال بدنه با طول کاتال ۴۵ نانومتر به ازای ولتاژهای درین و مقاومتهای بدنه متفاوت (نتایج شبیه ساز ISE-TCAD)

Fig. (7): Transition Free output conductance frequency response of BC SOI MOSFET with L=45nm and various drain voltages and body resistances (Results of ISE-TCAD Simulator)



شکل (۸): نمودار ولتاژ درین - مقاومت بدنه و هدایت خروجی - مقاومت بدنه در ماسفت سیلیکون بر روی عایق بدون پرش

Fig. (8): Vd-Rb (diamonds) and gd-Rb (squares) characteristics of TF SOI MOSFET



شکل (۹): ساختار تقویت کنندهٔ نویز پایین مورد بررسی در شبیه‌سازی با یک ماسفت سیلیکون بر روی عایق

Fig. (9): Structure of the simulated common source low noise amplifier (LNA) with the use of SOI MOSFET

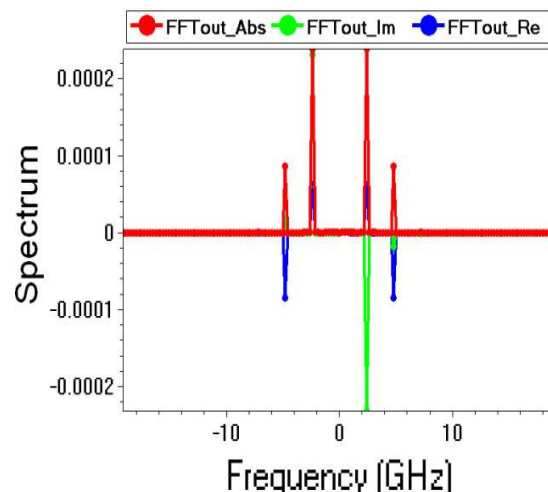
جهت بررسی اینکه حذف پرش موجود در پاسخ فرکانسی هدایت خروجی چه تاثیری بر روی خطی بودن مدارات فرکانس بالا می‌گذارد، یک تقویت کنندهٔ نویز پایین طراحی می‌شود و در ساختار آن یک بار از ماسفت سیلیکون بر روی عایق با اتصال بدنه و بار دیگر از ماسفت سیلیکون بر روی عایق بدون پرش استفاده می‌شود. ساختار تقویت کنندهٔ نویز پایین مورد بررسی در شکل (۹) نشان داده شده است. مقادیر خازن و سلف در درین (C_d و L_d) به گونه‌ای انتخاب می‌شوند که فرکانس رزونانس مدار برابر با ۲.۴ گیگاهرتز شود. مقدار ولتاژ باپسینگ اعمالی به درین و گیت (V_G و V_{dd}) برابر با ۱.۲ ولت می‌باشد. ورودی سینوسی با فرکانس ۲.۴ گیگاهرتز و دامنهٔ A به گیت اعمال می‌شود و خروجی از درین گرفته می‌شود. خازن C_g یک خازن بزرگ است که در فرکانس مورد نظر اتصال کوتاه می‌شود. مقدار ولتاژ و جریان نقطه کار به ترتیب برابر با ۰.۹۲ ولت و ۰.۵ میلی‌آمپر می‌باشند.

شبیه سازی برای تقویت کننده‌ی نویز پایین طراحی شده که دارای فرکانس رزونانس 2.4 گیگاهرتز می‌باشد انجام می‌شود. در ساختار این تقویت کننده یک بار از ماسفت سیلیکون بر روی عایق با اتصال بدن و بار دیگر از ماسفت سیلیکون بر روی عایق بدون پرش استفاده می‌شود. فرکانس موج اعمالی ثابت و اثرات غیرخطی برای دامنه‌های متفاوت بررسی می‌شوند. با توجه به جدول (۱)، مقدار اعوجاج هارمونیک کلی در تقویت کننده‌ی نویز پایین با ماسفت سیلیکون بر روی عایق بدون پرش، حدود یک دسی بل نسبت به ماسفت سیلیکون بر روی عایق با اتصال بدن کمتر شده است. در واقع، درصد بهبود در اعوجاج هارمونیک کلی تقویت کننده‌ی نویز پایین با استفاده از ماسفت سیلیکون بر روی عایق بدون پرش به جای ماسفت سیلیکون بر روی عایق با اتصال بدن در دامنه‌های متفاوت ورودی اعمال شده حدود ۱۲ درصد می‌باشد. در شکل (۱۱)، مقادیر اعوجاج هارمونیک سوم^۹ در هر دو ساختار نشان داده شده است. همانگونه که مشخص است، مقدار اعوجاج هارمونیک سوم در تقویت کننده با ماسفت سیلیکون بر روی عایق بدون پرش نسبت به ماسفت سیلیکون بر روی عایق با اتصال بدن، در دامنه‌های کوچکتر حدود چهار دسی بل و در دامنه‌های بزرگتر حدود هشت دسی بل کاهش پیدا کرده است. حال با توجه به رابطه‌ی (۱۰)، هرچه مقدار اعوجاج هارمونیک سوم کمتر شود، مقدار نقطه تقاطع دامنه خروجی هارمونیک اصلی و هارمونیک سوم بیشتر می‌شود. با توجه به نمودار شکل (۱۲)، همانگونه که مشخص است مقدار نقطه تقاطع دامنه خروجی هارمونیک اصلی و هارمونیک سوم در تقویت کننده با ماسفت سیلیکون بر روی عایق با اتصال بدن و ماسفت سیلیکون بر روی عایق بدون پرش نسبت به دسی بل دسی بل و در دامنه‌های بزرگتر چهار دسی بل افزایش یافته است.

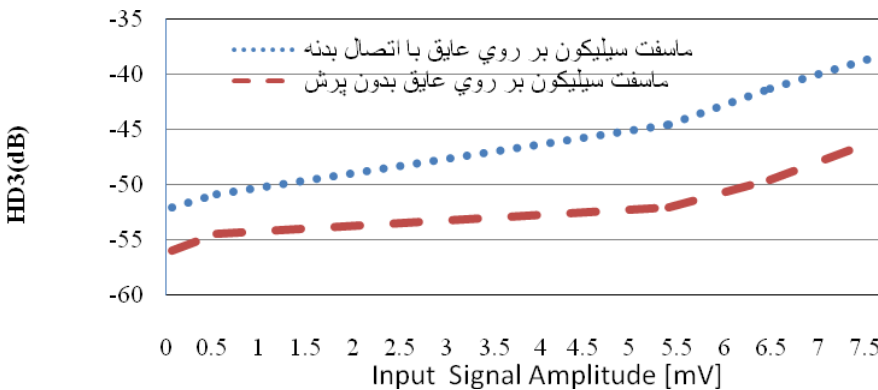
Table (1): Comparison of Total Harmonic Distortion in an LNA with two different Mosfet, namely BC SOI and TF SOI (dB)
جدول (۱): اعوجاج هارمونیک کلی در تقویت کننده‌ی نویز پایین با دو ماسفت سیلیکون بر روی عایق با اتصال بدن و ماسفت سیلیکون بر روی عایق بدون پرش به دسی بل

دامنه‌ی سیگنال ورودی(ولت)	مقدار اعوجاج هارمونیک کلی(دسی بل)
	ماسفت سیلیکون بر روی عایق بدون پرش
0.00005	-45.5
0.0005	-32.5
0.005	-11
0.006	-9.5
0.007	-8

جهت به دست آوردن اعوجاج هارمونیک کلی و نقطه تقاطع دامنه خروجی هارمونیک اصلی و هارمونیک سوم از نرم‌افزار شبیه ساز ISETCAD استفاده شده است. با اعمال ولتاژ سینوسی با فرکانس 2.4 گیگاهرتز به گیت، جریان درین به دست آورده می‌شود و سپس با استفاده از یکی از دقیق‌ترین روش‌ها که همان روش تبدیل فوریه سریع^{۱۰} (FFT) می‌باشد، دامنه‌ی هارمونیکها در خروجی محاسبه می‌شود. خروجی یک مورد از شبیه‌سازی‌های مربوط به FFT در شکل (۱۰) نشان داده شده است. با تبدیل فوریه گرفتن از موج خروجی، قسمت‌های موهومی، حقیقی و اندازه‌ی دامنه‌ی هارمونیک محاسبه می‌شود.

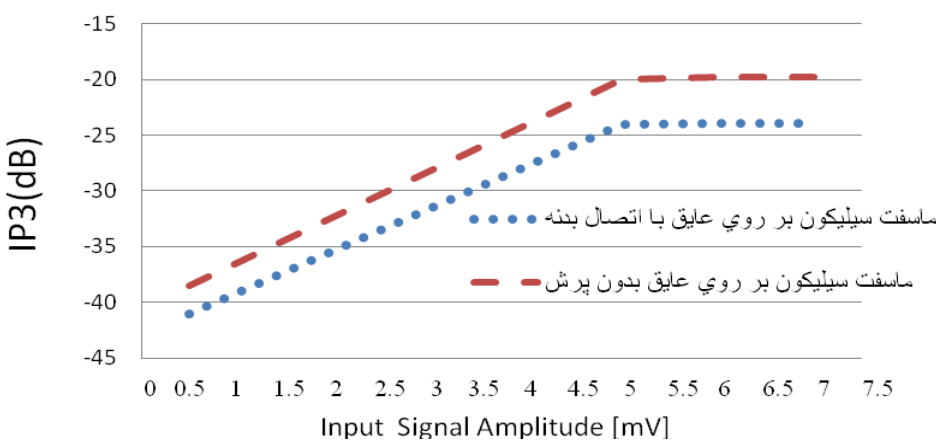


شکل (۱۰): نمودارهای قسمت حقیقی هارمونیکها (نمودار آبی)، قسمت موهومی هارمونیکها (نمودار سبز) و اندازه دامنه هارمونیکها (نمودار قرمز)
Fig. (10): Measured real (blue) and imaginary (green) parts and the magnitude(red) of calculated harmonics



شکل (۱۱): اعوجاج هارمونیک سوم در تقویت کننده‌ی نویز پایین با استفاده از ماسفت سیلیکون بر روی عایق بدون پرش (خط چین) و ماسفت سیلیکون بر روی عایق با اتصال بدنه (نقطه چین)

Fig. (11): Comparison of HD3 in an LNA with the use of TF SOI (dashed-line) and BC SOI (dots) MoSFETs



شکل (۱۲): نقطه تقاطع دامنه خروجی هارمونیک اصلی و هارمونیک سوم در تقویت کننده‌ی نویز پایین با استفاده از ماسفت سیلیکون بر روی عایق بدون پرش (خط چین) و ماسفت سیلیکون بر روی عایق با اتصال بدنه (نقطه چین)

Fig. (12): Comparison of IP3 in an LNA with the use of TF SOI (dashed-line) and BC SOI (dots) MOSFETs

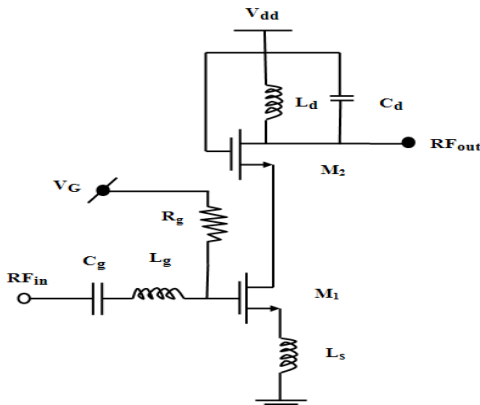
پس از اعمال موج سینوسی در ورودی، از موج خروجی به دست آمده تبدیل فوریه گرفته می‌شود تا بتوان مقادیر هارمونیکها را بررسی کرد. با شبیه‌سازی ساختار تقویت کننده‌ی نویز پایین در شکل (۱۳) در هر دو حالت، مقادیر به دست آمده برای هارمونیکها با هم مقایسه می‌شوند. نتایج به دست آمده از شبیه‌سازی نشان می‌دهد در حالت که از ماسفتهای سیلیکون بر روی عایق بدون پرش به جای ماسفتهای سیلیکون بر روی عایق با اتصال بدنه در ساختار تقویت کننده استفاده می‌شود حدود ۲ dB، ۶ dB و ۳ dB بهبود به ترتیب در مقادیر اعوجاج هارمونیک سوم، اعوجاج هارمونیک کلی و نقطه تقاطع دامنه خروجی هارمونیک اصلی و هارمونیک سوم به دست می‌آید.

جهت بررسی اینکه آیا با قرار گرفتن تعداد بیشتری ماسفت سیلیکون بر روی عایق بدون پرش باز هم بهبودی در رفتار خطی تقویت کننده‌های نویز پایین ایجاد می‌شود، شبیه‌سازی برای یک تقویت کننده‌ی نویز پایین دیگر که در آن از دو ماسفت سیلیکون بر روی عایق که به صورت کسکد قرار گرفته‌اند نیز انجام می‌شود. در این ساختار که در شکل (۱۳) نشان داده شده است ولتاژ بایاسینگ V_{dd} برابر با ۱.۲ ولت می‌باشد و مقادیر خازن و سلف در درین به گونه‌ای انتخاب می‌شوند که فرکانس رزونانس برابر با ۲.۴ گیگاهرتز شود. در یک حالت از شبیه‌سازی از دو ماسفت سیلیکون بر روی عایق بدون پرش (با تنظیم مقادیر مقاومت بدنه) و در حالت دیگر از دو ماسفت سیلیکون بر روی عایق با اتصال بدنه استفاده می‌شود تا بتوان اثر حذف پرش را بهتر بررسی کرد. هر دو ماسفت M_1 و M_2 دارای ساختار کاملاً یکسان و طول کانال برابر با ۴۵ نانومتر می‌باشند. جریان و ولتاژ نقطه کار به ترتیب برابر با ۰.۳ میلی آمپر و ۰.۹۶ ولت می‌باشند. خروجی از درین ماسفت M_2 گرفته می‌شود و ورودی سینوسی با دامنه‌ی A و فرکانس ۲.۴ گیگاهرتز به گیت ماسفت M_1 وارد می‌شود.

خروجی ماسفت سیلیکون بر روی عایق با اتصال بدن نباشد و ماسفت، ماسفت سیلیکون بر روی عایق بدون پرش نامیده شد. شبیه‌سازی بر روی ماسفت با طول کاتال 45 نانومتر انجام شد و نمودار مهمی به نام نمودار بدون پرش به دست آمد که با انتخاب مقادیر مقاومت بدن و ولتاژ درین مربوطه از روی این نمودار می‌توان به ماسفت سیلیکون بر روی عایق بدونه پرش رسید. اثر حذف پرش بر روی رفتار خطی دو تقویت کننده‌ی نویز پایین بررسی شد. جهت بررسی اثر پرش بر روی پارامترهایی همچون THD و IP3، در ساختار تقویت‌کننده‌ها یک بار از ماسفت سیلیکون بر روی عایق بدون پرش استفاده شد. مشاهده شد که با حذف سیلیکون بر روی عایق بدون پرش مقدار THD کاهش پیدا کرد بلکه پارامتر مهم دیگری به نام IP3 که امروزه پارامتر مهمی در طراحی مدارات فرکانس بالا می‌باشد افزایش پیدا کرد. با توجه به این بهبودها در رفتارخطی تقویت‌کننده‌ی نویز پایین، ماسفت سیلیکون بر روی عایق بدون پرش بر ماسفت سیلیکون بر روی عایق با اتصال بدن در مدارات RF که اثرات خطی از اهمیت بالاتری نسبت به سایر ویژگیها برخوردارند، ترجیح داده می‌شود.

پی‌نوشت:

- 1- Kink
- 2- Total Harmonic Distortion
- 3- Third Intercept point
- 4- Low Noise Amplifier
- 5- Technology Computer Aided Design
- 6- Mobility
- 7- nth Harmonic Distortion
- 8- Fast Fourier Transform
- 9- Third Harmonic Distortion



شکل (۱۳): ساختار تقویت کننده‌ی نویز پایین مورد بررسی در شبیه‌سازی با دو عدد ماسفت سیلیکون بر روی عایق به صورت کسک

Fig. (13): Structure of simulated cascade LNA with the use of 2 SOI MOSFETs

۵- نتیجه گیری

در این مقاله، در ابتدا وابستگی پرش فرکانسی هدایت خروجی ماسفت سیلیکون بر روی عایق با اتصال بدن به مقاومت بدن بررسی شد. نشان داده شد که هنگامی که مقدار مقاومت بدن به اندازه‌ی کافی کوچک باشد، یک پرش افزایشی در پاسخ فرکانسی هدایت خروجی به وجود می‌آید و با افزایش مقدار مقاومت بدن، این پرش به یک پرش کاهشی تبدیل می‌شود و رفتار ماسفت به صورت یک ماسفت سیلیکون بر روی عایق با بدن شناور می‌شود. سپس، مدل سیگنال کوچک این ماسفت مورد بررسی قرار گرفت و دلیل وجود این پرشها که از یک جفت صفر و قطب تشکیل شده‌اند مشخص شد. با بررسی روابط، این نتیجه حاصل شد که تنها با تنظیم مقاومت بدن و ولتاژ درین، می‌توان به گونه‌ای ماسفت را طراحی کرد که دیگر اثری از این پرش در پاسخ فرکانسی هدایت

مراجع

- [1] G.G. Shahidi, IBM J.RES. & DEV., Vol.46, No.2/3, MARCH/MAY 2002.
- [2] Shahidi, et al, IBM DAMOCLES tutorial. Available at: www.research.ibm.com/DAMOCLES/html_file/segi.html
- [3] Y-C. Tseng, W.M. Huang, D.J. Monk, P. Welch, J.C.S. Ford JmandWoo, "AC floating body effects and the resultant analog circuit issues in submicron floating body and body-grounded SOI MOSFET's", IEEE Trans. Elec. Dev., Vol.46, pp.1685-92, 1999.
- [4] C.F. Edwards, W. Redman-White, B.M. Tenbroeck, M.S.L. Lee, M.J. Uren, "The effect of body contact series resistance in SOI CMOS amplifier stage", IEEE Trans.Elec. Dev., Vol.44, pp.2290-4, 1997.
- [5] ISE Systems, TCAD Suit, <http://www.ise.com>.
- [6] V. Kilchytska, D. Levacq, D. Lederer, J-P. Raskin, D. Flandre, " Floating effective back gate effects on the small-signal output conductance of SOI MOSFETs Electron Device", Lett.24, pp.414-6, 2003.
- [7] V. Dessard, B. Iniguez, S. Adriaensen, D. Flandre, "SOI n-MOSFET low-frequency noise measurements and modeling from room temperature up to 250 °C", IEEE Trans. Elec. Dev., Vol.49, pp.1289-95, 2002.
- [8] R. Howes, W. Redman-White, "A small-signal model for the frequency-dependent drain admittance in floating-substrate MOSFETs", IEEE J. Solid-State Circuits, Vol.27, pp.1186-92, 1992

- [16] M. Jafari, S. Kasaei, "An efficient intra-prediction b mode decision algorithm for H.263 to H.264 btranscoding", 10th IEEE Inte. Conf. on Comp. Sys. and Appl., pp.1082-1089, march 2006.
- [17] M. Jafari,S. Kasaei, "Prioritisation of data partitioned MPEG4 video over GPRS/EGPRS mobile networks", Asian Inte. Eng. Conf. (AINTEC), Tailand, pp.68-82, Dec. 2005.
- [18] I. Richardson, "H.264/MPEG-4 part 10 white paper", Available: <http://www.vcodex.fsnet.co.uk/resources.html>.
- [19] C. Kim, H.H. Shih, C.C.J. Kuo, "Feature-based intra prediction mode decision for h.264", In Proc. IEEE Inte. Conf. on Ima. Proc., 2004.
- [20] Y.Wen Huang, B.Yu Hsieh, S.Yi Chien, S.yih Ma, L. Gee Chen, "Analysis complexity reduction of multiple reference frames motion estimation in H.264/AVC", Feb. 2006.
- [21] G. Sullivan, "Recommended simulation common conditions For H.26L coding efficiency experiments on low resolution progressive scan ource material", Presented at the 14thVCEG- N81 Meeting, Santa Barbara, CA, Sep. 2001.
- [22] J. Gang-yi, L. Shi-ping,Yu Mei, Li Fu-cui, "An efficient fast mode selection for intra-prediction", IEEE Int. Work. VLSI Des. & Vid. Tech., China, pp. 57-360, May 2005.
- [23] P. Yin, H.C Tourapis, A.M. Toupis, J. Boyce, "Fast mode decision and motion estimation for JVT/H.264", Proc. Int. Conf. on Ima. Proc., Barcelona, Spain, Vol.3, pp.14-17, 2003.
- [24] K.P Lim, S. Wu, D.J. Wu, S. Rahardja, X. Lin, F. Pan, Z.C. Li, "Fast inte mode selection", 9th Joint Video Team (JVT) Mtg, San Diego, CA, USA, Sep. 2003.
- [25] H. Kim, Y. Altunbasak, "Fast mode decision for inter prediction in H.264", ICIP, Singapore, 2004.
- [26] Y.H. Kim, J.W. Yoo, S.W. Lee, J. Shin, "Adaptive mode decision for H.264 encoder", In Electronic Letters, Vol.40, No.19, Sep. 2004.
- [27] A.C. Yu, G. Martin, "Advanced block size selection algorithm for inter frame coding in H.264/MPEG-4 AVC", In ICIP 2004, Singapore, 2004.
- [28] Q. Dai, D. Zhu, R. Ding, "Fast mode decision for inter prediction in H.264", In ICIP 2004, Singapore, 2004.
- [29] M. Jafari, S. Kasaei, "Fast intra and inter prediction mode decision in H.264 advanced video coding", IJCSNS, May 2008.